

CALORE SPECIFICO DEI SOLIDI

Da teorema equipartizione \rightarrow legge sperimentale di Dulong-Petit
 $C_v \approx 3R$

Solido \rightarrow insieme di oscillatori con 6 gdl $\Rightarrow U = \frac{1}{2} 11T \cdot 6 \cdot N_A = 3RT$

$$C_v = \left(\frac{\partial U}{\partial T} \right)_v = 3R$$

Ma sperimentalmente $C_v \rightarrow 0$ ($T \rightarrow 0$) $\sim T^3$

MODELLO DI EINSTEIN PER IL CALORE SPECIFICO DEI SOLIDI

Einstein recupera l'ipotesi di Planck sulla quantizzazione dell'energia dell'oscillatore armonico e lo applica al calore specifico dei solidi.

Solido: N atomi \rightarrow moti armonici

- Hip:
- 1) Solido composto da oscillatori (atomi) indipendenti tra di loro
 - 2) le 3 dimensioni sono indipendenti costante molla
 - 3) Tutti gli oscillatori hanno la stessa frequenza $\nu = \frac{1}{2\pi} \sqrt{\frac{b}{m}}$

Ad ogni oscillatore si associa un'energia media in equilibrio termico T

$$\bar{E} = \frac{h\nu}{e^{\frac{h\nu}{kT}} - 1} \quad \forall \text{ oscillatore monodimensionale}$$

$$U = 3N \cdot \bar{E} \quad (N \text{ atomi} \Rightarrow 3N \text{ oscillatori monodimensionali})$$

$$\rightarrow U = 3N \frac{h\nu}{e^{\frac{h\nu}{kT}} - 1} \quad N = N_A \cdot n_{\text{moli}} \quad R = N_A k_B$$

$$C_v = \frac{1}{n_{\text{moli}}} \left(\frac{\partial U}{\partial T} \right)_v = 3N_A h\nu \frac{(-e^{\frac{h\nu}{kT}})}{(e^{\frac{h\nu}{kT}} - 1)^2} \left(-\frac{h\nu}{kT^2} \right) \frac{k}{k}$$

$$C_v = 3R = \left(\frac{h\nu}{k_B T} \right)^2 \frac{e^{\frac{h\nu}{kT}}}{(e^{\frac{h\nu}{kT}} - 1)^2}$$

Si può definire $\theta_E = \frac{h\nu}{k}$ → temperatura caratteristica di Einstein

$$C_V = 3R \left(\frac{\theta_E}{T} \right)^2 \frac{e^{\theta_E/T}}{(e^{\theta_E/T} - 1)^2}$$

1) LIMITE CLASSICO $T \gg \theta_E$

$$C_V \sim 3R \left(\frac{\theta_E}{T} \right)^2 \frac{1}{\left(1 + \frac{\theta_E}{T} - 1 \right)^2} \approx 3R \quad (\text{Dulong-Petit})$$

2) LIMITE QUANTISTICO $T \ll \theta_E$ $C_V \sim 3R \left(\frac{\theta_E}{T} \right)^2 \frac{e^{\theta_E/T}}{(e^{\theta_E/T} - 1)^2} \sim 3R \left(\frac{\theta_E}{T} \right)^2 e^{-\theta_E/T}$

$$C_V \rightarrow 0 \sim e^{-\theta_E/T} \quad \text{e non come } T^3$$

Quindi il modello di Einstein non è soddisfacente pienamente

MODELLO DEBYE

Il modello di Debye estende l'analogia con la trattazione del corpo nero

↳ Debye considera il solido come un continuo elastico con condizioni al contorno che rendono possibili solo certe frequenze come per la cavità del corpo nero

Debye capisce che è possibile propagare in un solido onde delle onde sonore (basse frequenze) alle alte frequenze

Debye considera i modi vibrazionali del cristallo nel suo insieme

↳ Se gli atomi sono vincolati ai vertici di un reticolo cristallino mediante un potenziale di interazione ⇒ non possono vibrare indip.

Modi collettivi che si propagano → onde sonore nel materiale

- 1) Le vibrazioni termiche ~ onde sonore
- 2) Solido → continuo elastico
- 3) Esistono modi di vibrazioni

Espandiamo il potenziale di interazione su piccoli spostamenti → armonico
↳ analisi in modi normali ⇒ $3N$ modi di oscillazione del solido

$$E = \frac{1}{2} \sum_{i=1}^{3N} (p_i^2 + m_i^2 q_i^2) \rightarrow \text{equivale a } 3N \text{ oscillatori 1D indep.}$$

Onde sonore/elastiche si propaga in un solido di volume V
 se $d \gg a$ (distanza interatomica) il cristallo appare come un continuo all'onda

Considero $V=L^3 \rightarrow$ conta' in cui si istaurano onde elastiche stazionarie

CALCOLO N° DI MODI PER INTERVALLO DI FREQUENZA

$$G(\nu) d\nu = \frac{4\pi}{\nu^3} V \nu^2 d\nu$$

$\nu^3 \rightarrow$ velocità di propagazione suono nel mezzo

$$G(\nu) d\nu = 4\pi V \left[\frac{1}{\nu_e^3} + \frac{2}{\nu_t^3} \right] \nu^2 d\nu$$

Le velocità di propagazione delle onde sonore può essere diversa se sono longitudinali (1 polarizzazione) o trasversali (ν_t , 2 polarizzazioni)

Chiamo $\frac{1}{\nu_e^3} + \frac{2}{\nu_t^3} = \frac{1}{\nu_s^3} \rightarrow$ velocità delle onde sonore medie

A differenza della conta' di corpo nero, qui il numero totale di modi è finito perche' il numero totale di gradi di libertà è $3N$
 Dato quindi limitare le frequenze:

$$\int_0^{\nu_0} G(\nu) d\nu = 3N \Leftrightarrow \exists \text{ frequenza massima} = \text{frequenza di Debye}$$

$$= \int_0^{\nu_0} \frac{4\pi V}{\nu_s^3} \nu^2 d\nu = \frac{4\pi}{\nu_s^3} \frac{1}{3} \nu_0^3 = 3N$$

$$\Rightarrow \nu_0^3 = \frac{9N}{4\pi V} \nu_s^3 = \frac{9}{4\pi} m \nu_s^3 \quad \text{con } \frac{m}{N} \text{ densità di atomi del reticolo } \sim 10^{22} \text{ atomi/cm}^3$$

Assumo che ν_t e ν_e siano indipendente da ν (non vero per cristalli reali)
 A frequenze basse va bene, ma per frequenze alte la separatura atomica è dell'ordine delle lunghezze d'onda

CALCOLO ENERGIA TOTALE INTERNA

$$U = \int_0^{\nu_0} \underbrace{G(\nu)}_{\substack{\text{numero di modi possibili} \\ \text{in } (\nu, \nu+d\nu)}} \underbrace{e^{\frac{h\nu}{kT}}}_{\text{energia per modo}} \frac{1}{e^{\frac{h\nu}{kT}} - 1} d\nu = \frac{4\pi V h}{\nu_s^3} \int_0^{\nu_0} \frac{\nu^3}{e^{\frac{h\nu}{kT}} - 1} d\nu$$

numero di modi possibili
 in $(\nu, \nu+d\nu)$ $\rightarrow \langle E \rangle \text{ per modo}$

Pongo $x = \frac{h\nu}{kT}$ $dx = \frac{h}{kT} d\nu$ $\bar{x} = \frac{h\nu_D}{kT}$ $\nu = \frac{kT}{h} \cdot x$

Allora: $u = \frac{4\pi V h}{N_s^3} \int_0^{\bar{x}} \left(\frac{kT}{h}\right)^3 \frac{x^3}{e^x - 1} \left(\frac{kT}{h}\right) dx = \frac{4\pi V h}{N_s^3} \left(\frac{kT}{h}\right)^4 \int_0^{\bar{x}} \frac{x^3}{e^x - 1} dx$

$\frac{9N}{V_D^3}$

$u = 9N \left(\frac{kT}{h\nu_D}\right)^3 kT \int_0^{\bar{x}} \frac{x^3}{e^x - 1} dx$

Pongo $\theta_D = \frac{h\nu_D}{k}$ TEMPERATURA CARATTERISTICA DI DEBYE

• $T \gg \theta_D \rightarrow x < 1$ (limite classico)

$u \sim 9N \left(\frac{T}{\theta_D}\right)^3 kT \int_0^{\theta_D/T} \frac{x^3}{(1+x-1)} dx = 9N \left(\frac{T}{\theta_D}\right)^3 kT \frac{1}{3} \left(\frac{\theta_D}{T}\right)^3 = 3NkT$

$C_v = \frac{1}{n_{mol}} \left(\frac{\partial U}{\partial T} \right)_v = 3NAk = 3R$

• $T < \theta_D$ $\frac{\nu_D}{T} \rightarrow \infty$

$u \sim 9N \left(\frac{T}{\theta_D}\right)^3 kT \int_0^{\infty} \frac{x^3}{e^x - 1} dx$

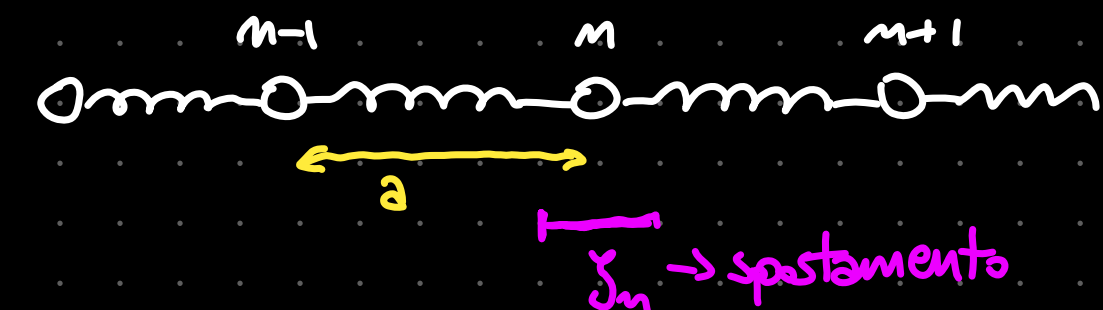
$\frac{\pi^4}{15}$ come corpo nero

$u \sim \frac{3}{15} \pi^4 NkT \left(\frac{T}{\theta_D}\right)^3 \Rightarrow C_v = \frac{1}{n} \left(\frac{\partial U}{\partial T} \right)_v = \frac{4}{3} \pi^4 R \frac{T^3}{\theta_D^3}$

$C_v \rightarrow 0 \sim T^3$ come osservato sperimentalmente

Anche modello di Debye ha limitazioni \rightarrow per alcuni solidi θ_D dipende da T

EFFETTO DISCREPANZA



costante armonica β

punto equilibrio $\Rightarrow x_n = n \cdot a$

Forza su atomo n -esimo $\rightarrow \beta(\xi_{n+1} - \xi_n) - \beta(\xi_n - \xi_{n-1})$

EQUAZIONE MOTO $\rightarrow M \frac{d^2}{dt^2} \xi_n$

$$\Rightarrow M \frac{d^2}{dt^2} \xi_n = \beta(\xi_{n+1} - \xi_n) - \beta(\xi_n - \xi_{n-1}) = \beta(\xi_{n+1} + \xi_{n-1} - 2\xi_n)$$

Cerco una soluzione del tipo $\xi_n = \xi_0 e^{i(\omega t + kx_n)}$
 \hookrightarrow sostituisco nell'equazione

$$-M\omega^2 \xi_0 e^{i(kna + \omega t)} = \beta(\xi_0 e^{i(\omega t + (n+1)2\pi)} + \xi_0 e^{i(\omega t + k2(n-1))} - 2\xi_0 e^{i(\omega t + k2n)})$$

$$-M\omega^2 = 2\beta(\underbrace{e^{ik2} + e^{-ik2}}_{2\cos(k2)} - 2) = 2\beta(\cos(k2) - 1) = -2\beta(1 - \cos(k2))$$

$$\Rightarrow -M\omega^2 = -4\beta \sin^2\left(\frac{k2}{2}\right) \rightarrow \omega^2 = \frac{4\beta}{M} \sin^2\left(\frac{k2}{2}\right)$$

$\omega = 2\sqrt{\frac{\beta}{M}} \left| \sin\left(\frac{k2}{2}\right) \right|$ Relazione di dispersione tra la pulsazione e il vettore d'onda

\hookrightarrow questa equazione fornisce la frequenza "permanente" nel cristallo?

$$\textcircled{1} \quad \omega_{\max} \rightarrow \frac{1}{2}k2 = \frac{\pi}{2} \Rightarrow k = \frac{\pi}{2}$$

$\omega_{\max} = 2\sqrt{\frac{\beta}{M}}$ \rightarrow frequenza massima per onde acustiche in un solido

$$\textcircled{2} \quad k2 \ll \pi \Rightarrow \sin\left(\frac{k2}{2}\right) \approx \frac{k2}{2} \Rightarrow \omega \approx \sqrt{\frac{\beta}{M}} k2 \rightarrow \text{Relazione lineare alla Debye}$$

$\hookrightarrow \lambda \rightarrow \infty$

Per onde stingerie continue $k \sim \nu \rightarrow \omega = v_s k$

$$k \sim \frac{2\pi}{\lambda} = \frac{\pi}{a} \Rightarrow \lambda = 2a \quad \lambda \text{ "piccolo"} \Rightarrow \text{modi non si propagano}$$

\hookrightarrow velocità propagazione nulla

$$\omega = f(x) \rightarrow \text{relazione di dispersione} \Rightarrow \sin(\omega t - kx) = \sin(f(x)t - kx)$$

$$f(x) = \omega_0 + (k - k_0)\omega_0' \Rightarrow \sin(\omega t - kx) = \sin(\omega_0 t + (k - k_0)t\omega_0' - kx + k_0x - k_0x)$$

$$= \sin[(\omega_0 t - k_0 x) - (k - k_0)(x - v_0' t)] = \sin \alpha \cos \beta - \cos \alpha \sin \beta$$

$$\Psi(x, t) = \int dk \left[\sin(\omega_0 t - k_0 x) \cos[(k - k_0)(x - v_0' t)] - \cos(\omega_0 t - k_0 x) \sin[(k - k_0)(x - v_0' t)] \right]$$

$$\Psi(x, t) = \underbrace{\sin(\omega_0 t - k_0 x)}_{v = \frac{\omega_0}{k_0}} \int dk \cos((k - k_0)(x - v_0' t))$$

$$v = \frac{\omega_0}{k_0}$$

$$v_g = v_0'$$